

Beijing Forest Studio  
北京理工大学信息系统及安全对抗实验中心



# 基于深度学习的NIDS对抗样本 检测与防御技术

硕士研究生 袁梦佳

2025年12月14日

- 相关内容

- 2024.11.17 郑俊怡 《文本分类硬标签黑盒模型的对抗样本生成方法研究》
- 2023.10.22 邵思源 《面向NIDS的流量对抗样本检测》
- 2023.05.29 程瑶 《单词级文本对抗攻击》
- 2021.07.26 杨若晗 《特定安全攻防场景中的对抗样本生成方法》
- 2021.08.31 王琛 《特定安全领域中的对抗样本防御方法》

- 预期收获
- 内涵解析与研究目标
- 研究背景与研究意义
- 研究历史与现状
- 知识基础
- 算法原理
  - GDA-FS
  - NIDS-DA
- 特点总结与未来展望
- 参考文献

- 预期收获
  - 熟悉**网络入侵检测系统**的基本概念
  - 了解对抗攻击与防御技术
  - 了解**对抗样本检测技术**的发展历史与研究方向
  - 理解网络流量对抗样本检测技术的原理与思路

- 研究目的

- 以网络入侵检测系统为对象，研究**对抗样本**检测与防御方法
- 结合深度学习、编码器、特征压缩、对抗训练等技术
- 实现对抗样本**检测准确率**的提升，以及入侵检测模型**鲁棒性**的提升

- 内涵解析

- 入侵检测系统：通过实时分析网络流量或系统活动来**识别和预警**恶意攻击行为
- 基于深度学习的网络入侵检测系统（Network Intrusion Detection System, NIDS）
  - 以**深度学习**为基础的网络流量入侵检测系统，用于区分**良性/恶意**流量
- 对抗样本是一种经过**精心设计**、**微小扰动**的输入数据，能诱导模型做出错误预测

- 研究背景

- 面对日益复杂的网络攻击，传统NIDS逐渐暴露出检测能力的局限性
  - 对**预定义规则**的依赖和对未知攻击模式的**泛化能力**不足
  - 在面对**零日攻击**、对抗攻击等高级威胁时，存在显著的**检测盲区**
- 基于深度学习的NIDS 性能出色，但其模型本身存在对抗脆弱性的固有缺陷
  - 在高维特征空间中构建的**决策边界**复杂，但在局部往往是**高度线性**的，使得决策行为在微小扰动下变得不稳定
  - 模型决策依赖于其数据所呈现的**统计分布**
  - 攻击者可借助模型梯度，施加微小且合规的扰动**欺骗模型**，诱导模型做出错误判决

- 研究意义

- 加固安全防线，提升 NIDS 的**鲁棒性与可靠性**
- 提高深度学习模型在**复杂多变网络环境**中的可靠性和信任度

Peng等人提出了一种基于GAN的对抗样本检测技术，GAN的生成器网络学习干净数据样本的潜在空间分布，通过监测重构误差和鉴别器对可疑数据样本的输出之间的不匹配来检测对抗样本。

Khettaf等人提出一种**双层检测机制**来防御对抗样本攻击：通过**统计检验**快速识别可能包含对抗扰动的可疑网络流量并标记；再利用一个基于标注数据训练的**辅助分类器**对这些可疑流量进行分析，实现对对抗样本的精准提取。

Debicha等人提出了一种**基于迁移学习的多对抗检测方法**（TAD），通过设计**串行/并行架构**的多个对抗检测器并结合决策融合规则，在检测未知攻击时优于单检测器，尤其在并行IDS中显著提升了对抗样本检准确率。

Kumar等人提出了**NIDS-DA**，一种**基于深度自编码器（DAE）**的新型对抗样本检测方法，专门针对网络入侵检测系统（NIDS）中仅修改非功能特征以保留恶意功能的对抗攻击。相比传统方法，具有更高的准确性和实用性。



Alhajjar等人提出了一种基于**进化计算**的方法，通过整合三种前沿技术——**粒子群优化算法**、**遗传算法**和**生成对抗网络**，构建了多层次对抗样本生成框架。

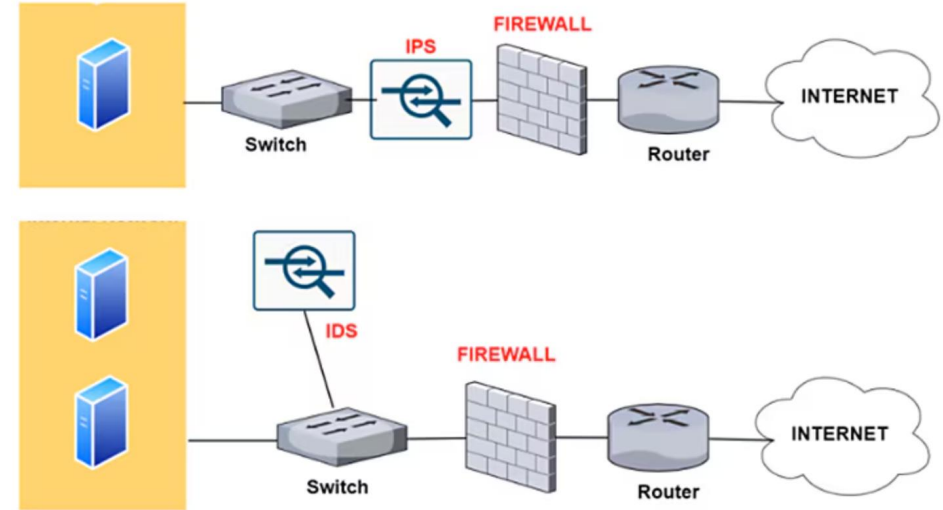
Wang等人提出了**MANDA**，一种基于流形和决策边界对抗样本检测方法，通过分析对抗样本与原始数据**流形的不一致性**及**决策边界邻近性**检测对抗样本，保护入侵检测系统免受对抗攻击。

Roshan等人提出了一种针对基于优化的白盒对抗攻击（C&W攻击）的**两阶段防御策略GDA-FS**，通过训练阶段的高斯数据增强（GDA）和测试阶段的特征压缩（FS），显著提升网络入侵检测系统的鲁棒性。

## 入侵检测系统 (Intrusion Detection System, IDS)

### – 定义

- 一种安全设备或软件应用程序
- 通过**持续监控**网络流量或系统活动，识别恶意行为、可疑活动或安全策略违规行为，并发出警报
- **被动系统**，主要负责检测和报告，**不直接阻止**流量或采取防御措施



### – 分类

	类型	部署位置	核心原理
基于部署位置	基于网络 NIDS	网络关键节点	捕获并分析网络数据包
	基于主机 HIDS	单个主机	分析系统日志、文件完整性等主机内部活动

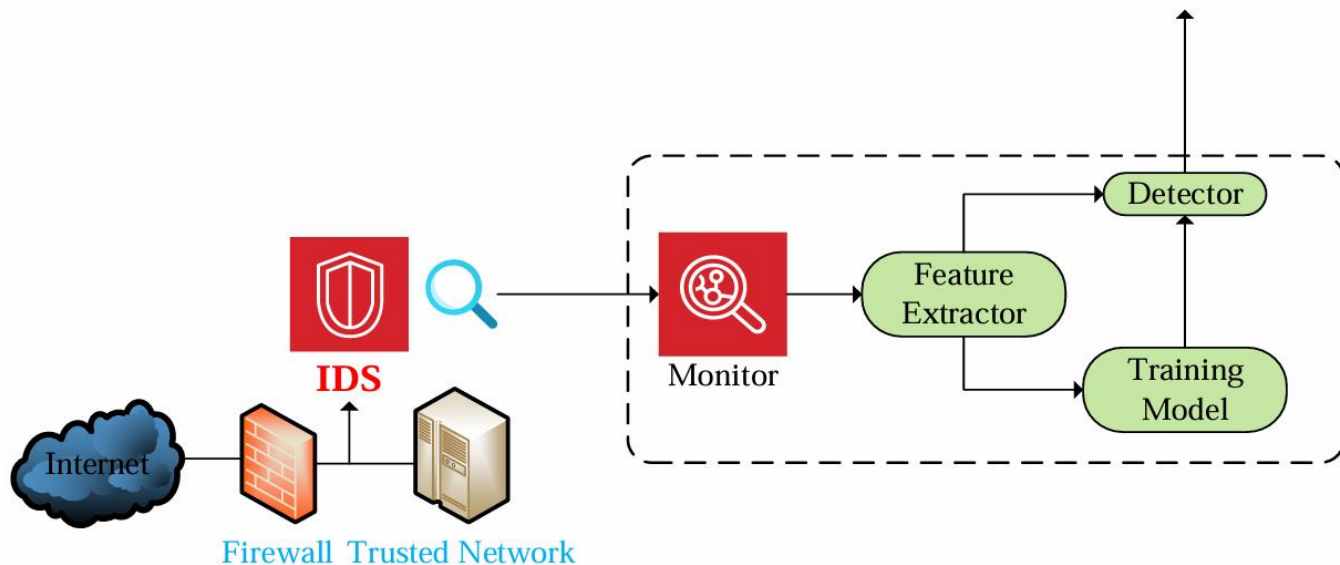
	类型	核心原理
基于检测技术	基于特征	与已知攻击特征库进行模式匹配
	基于异常	建立正常行为基线，识别偏离基线的活动
	混合型	结合前两种方法

- 网络入侵检测系统 (NIDS)

- 部署在**防火墙之后**、**可信网络之前**的一个关键网络节点上

- 工作流程

- 数据来源：Internet的**外部流量**经过**Firewall的初步过滤**后，一份副本会被发送到NIDS
- 数据捕获：监控器**实时抓取并复制**流经该节点的所有数据包
- 特征提取：特征提取器从原始数据中**提取关键特征**
- 入侵判定：检测器将特征与**训练模型/规则库**进行比对分析



## • 对抗攻击

### – 攻击目的

- 有目标攻击
- 无目标攻击

### – 攻击时机

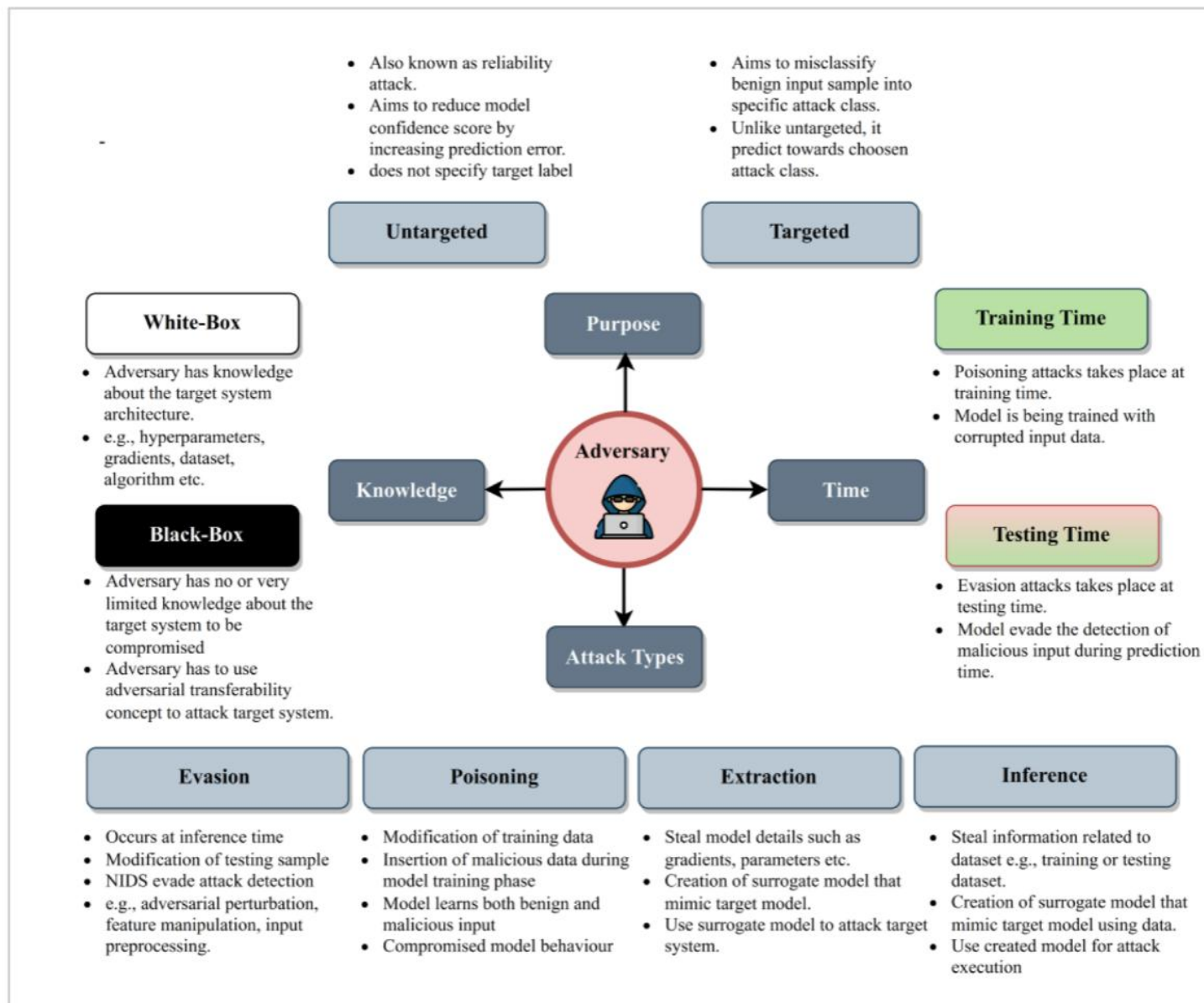
- 训练阶段
- 测试阶段

### – 攻击知识

- 白盒攻击
- 黑盒攻击

### – 攻击类型

- 逃避攻击、提取攻击
- 投毒攻击、推理攻击

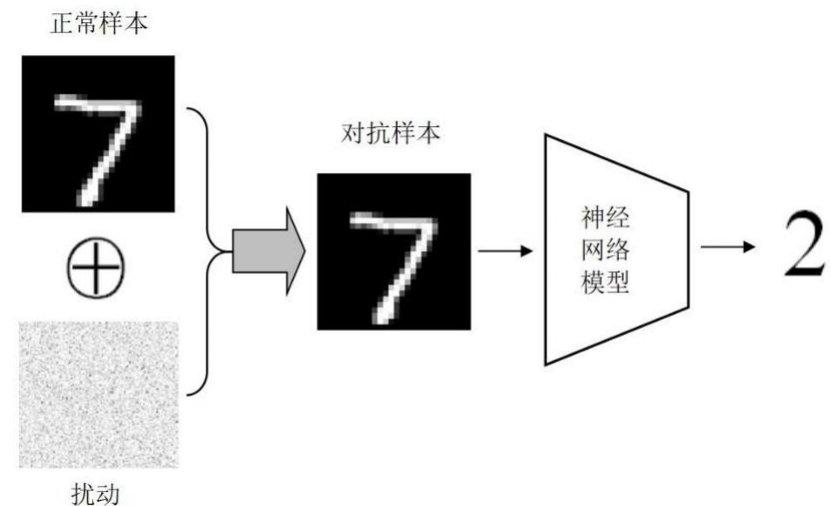


- 对抗样本

- 在原始样本中加入一些**人为设计的、难以察觉的微小扰动**而生成的样本
- 目的：让机器学习或深度学习模型产生**错误分类**或者**预测**

- 对抗样本攻击算法

- 基于梯度的单步/迭代攻击：FGSM/PGD/BIM/I-FGSM
  - 沿着**梯度符号**或**梯度方向**迭代增加扰动
  - 目标是**最大化损失函数**
- 基于优化的攻击：C&W/L-BFGS
  - 通过**数学优化问题**，找到**满足特定约束**（最小扰动范数）的对抗样本
  - 最小化一个包含**扰动范数**和**分类错误**的组合损失函数



## • 对抗样本攻击算法

### – 基于迁移性的攻击：MI-FGSM

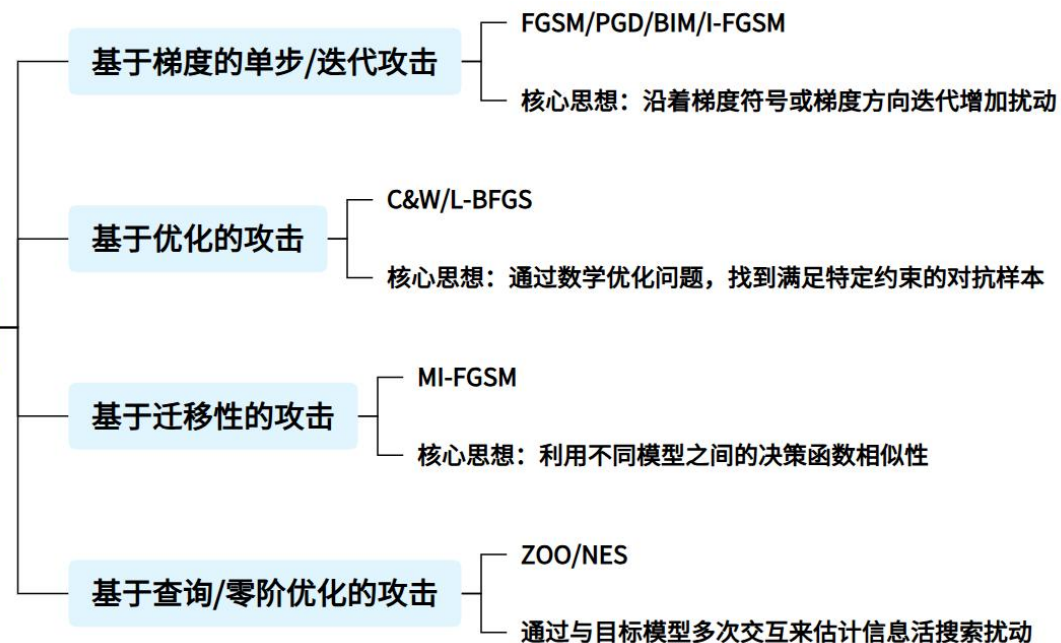
- 利用不同模型之间的**决策函数相似性**
- 在入侵检测模型上生成**白盒样本**，用于攻击**黑盒目标模型**

### – 基于查询/零阶优化的攻击：

#### ZOO/NES

- 通过与**目标模型**的多次输入/输出**交互**来估计信息或搜索扰动
- 使用**有限差分**或**演化算法**在黑盒设置下近似梯度或直接搜索

#### 对抗样本攻击算法



- 对抗样本**检测**技术
  - 基于特征学习的对抗样本检测
    - 利用对抗样本与原始样本的**不同特征**来进行对抗样本检测
  - 基于分布统计的对抗样本检测
    - 通过分析模型输出层的**概率分布特征**，识别对抗样本与正常样本的统计差异
  - 基于中间输出的对抗样本检测
    - 利用对抗样本在深度神经网络**中间层激活状态**与正常样本的显著差异
- 对抗样本**防御**技术
  - 对抗训练
    - 对抗样本与原始样本混合训练模型，使其学习到更加**平滑、稳健**的边界
  - 特征去噪
    - 在对抗样本输入模型之前进行**去噪处理**，将攻击者千方百计添加到原始样本上的轻微干扰去除



**Boosting robustness of network intrusion detection systems: A novel two phase defense strategy against untargeted white-box optimization adversarial attack**

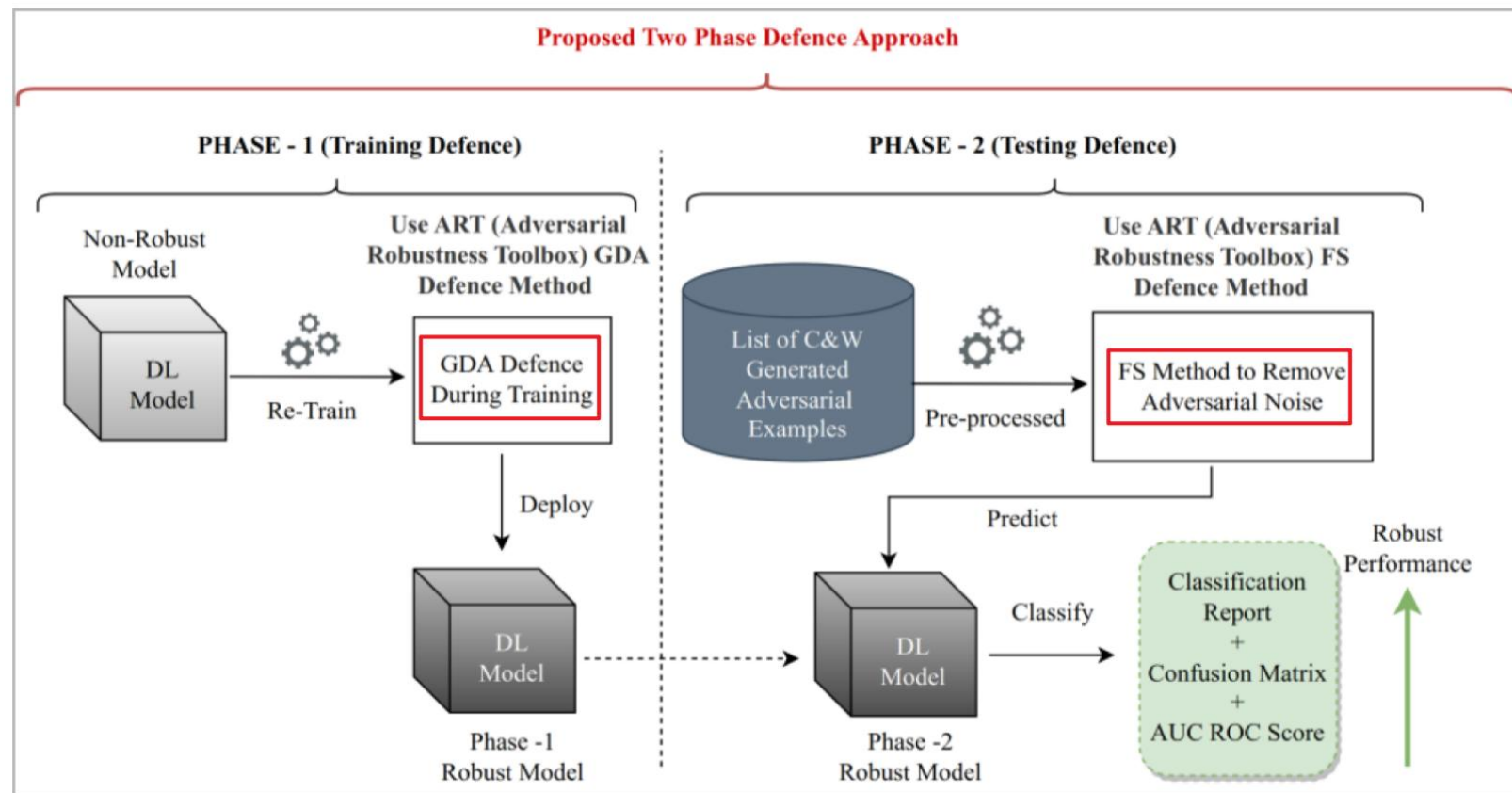
T	目标	提升NIDS对C&W对抗攻击的鲁棒性
I	输入	1组网络流量样本(良性/恶意/对抗)
P	处理	1.输入样本进行数据清洗、特征选择与特征归一化 2. <b>GDA防御</b> : 向训练数据注入高斯噪声, 通过对抗训练生成鲁棒模型 3. <b>FS防御</b> : 对对抗样本特征压缩, 过滤微小扰动后再输入鲁棒模型分类
O	输出	1个对对抗样本具有鲁棒性的模型

P	问题	1.NIDS模型面对C&W优化型白盒对抗攻击时表现脆弱, 防御能力失效 2.大多数现有研究仅关注单一阶段(训练/测试)的防御, 防护效果有限
C	条件	攻击假设: <b>白盒攻击</b> (攻击者已知模型参数和梯度)
D	难点	GDA可能降低模型对正常样本的 <b>敏感度</b> , FS过度压缩会 <b>损失特征信息</b>
L	水平	ESWA 2024 (中科院一区)

## 5.0 模型防御

### • GDA-FS

- 以往工作多仅关注单阶段防御，本文首次在NIDS中验证**两阶段联合防御**的有效性
- 训练阶段采用高斯数据增强（**GDA**）进行对抗训练；测试阶段应用特征压缩（**FS**）过滤对抗噪声



## GDA-FS

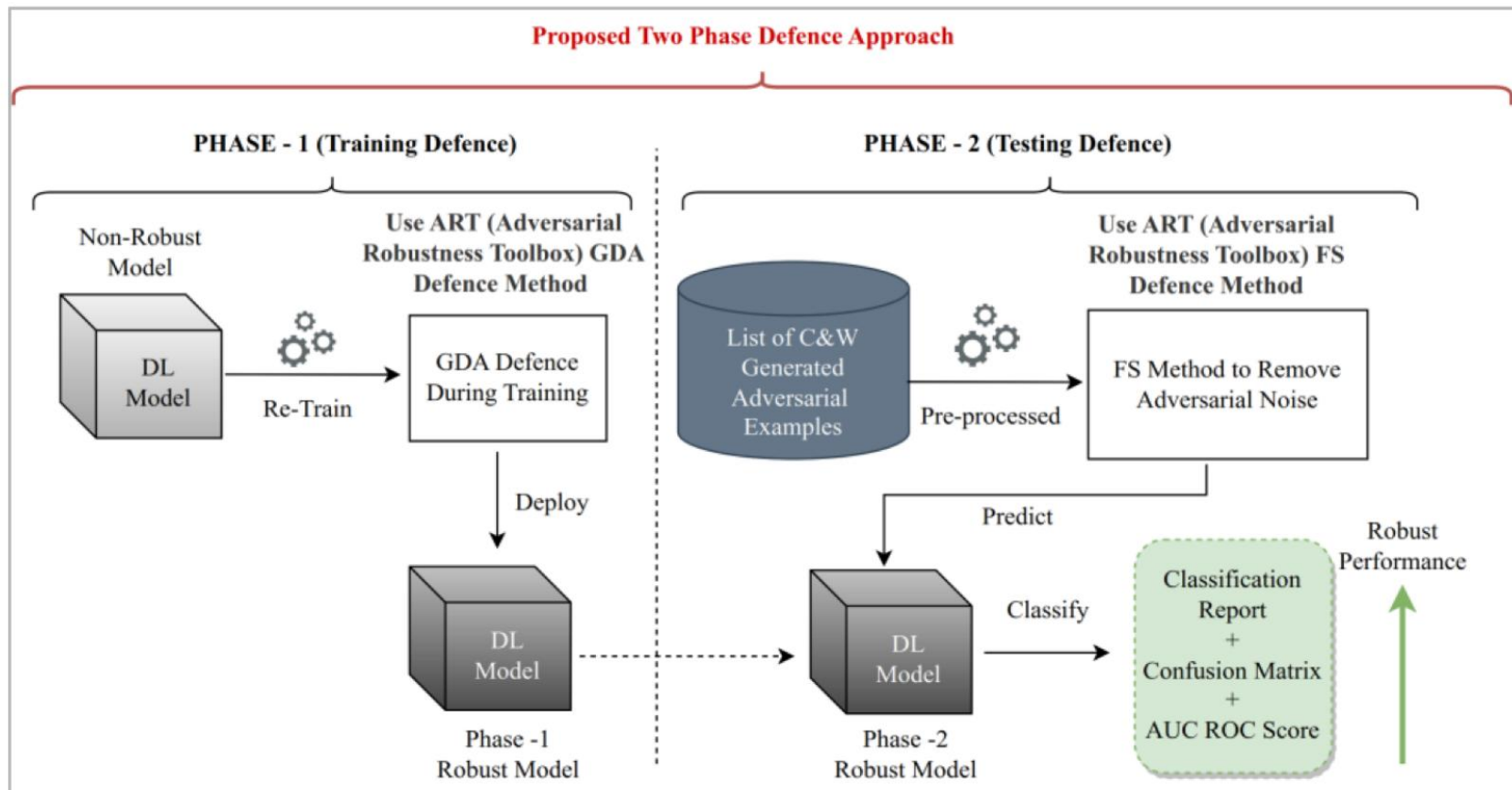
- GDA-FS

- 前期准备

- 数据预处理
- 构建NIDS
- C&W生成对抗样本

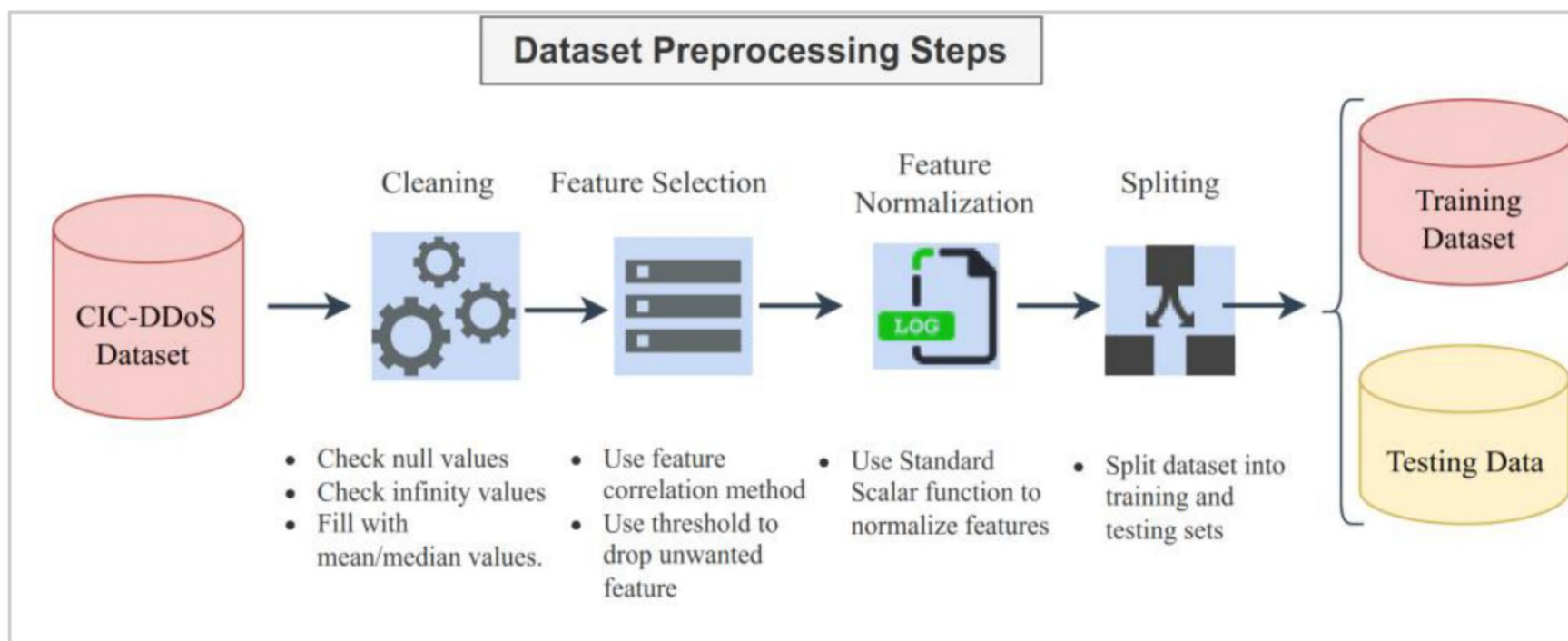
- 核心步骤

- 训练阶段防御GDA
- 测试阶段防御FS



## 数据预处理

- 数据预处理
  - 数据清洗：检查空值，检查无穷值，填充均值/中位数
  - 特征选择：计算特征之间相关性，删除相关值大于0.9的特征
  - 特征归一化
  - 数据集划分



## • 基于深度学习的NIDS模型

- 输入：良性/恶意流量数据样本
- 模型结构
  - 输入层
  - 隐藏层：四层全连接层（ReLU）
  - 输出层
- 超参数优化
  - 随机搜索
- 损失函数
  - 二元交叉熵（Binary Cross-Entropy）

Hyperparameter	Values
Number of Layers	One Input + Four Hidden + One Output
Number of Neurons in Each Layer	40, 30, 15
Hidden Layer Activation Function	ReLU
Output Layer Activation Function	Sigmoid
Batch Size	4048
Learning Rate	0.0001
Number of Epochs	50
Optimizer	Adam
Loss Function	Binary_Crossentropy
Validation Split Parameter	0.25

- C&W算法生成对抗样本

- 攻击类型：基于优化的**白盒攻击**，攻击者已知模型结构和参数；无目标攻击

- 带约束的优化方法

- 最小化扰动 $\sigma$

$$\text{OptimizationFunction}(OF) : \text{minimize } \sigma \|\sigma\|_p + C * F(x + \sigma)$$

- 攻击损失函数——最大化模型的**错误分类置信度**

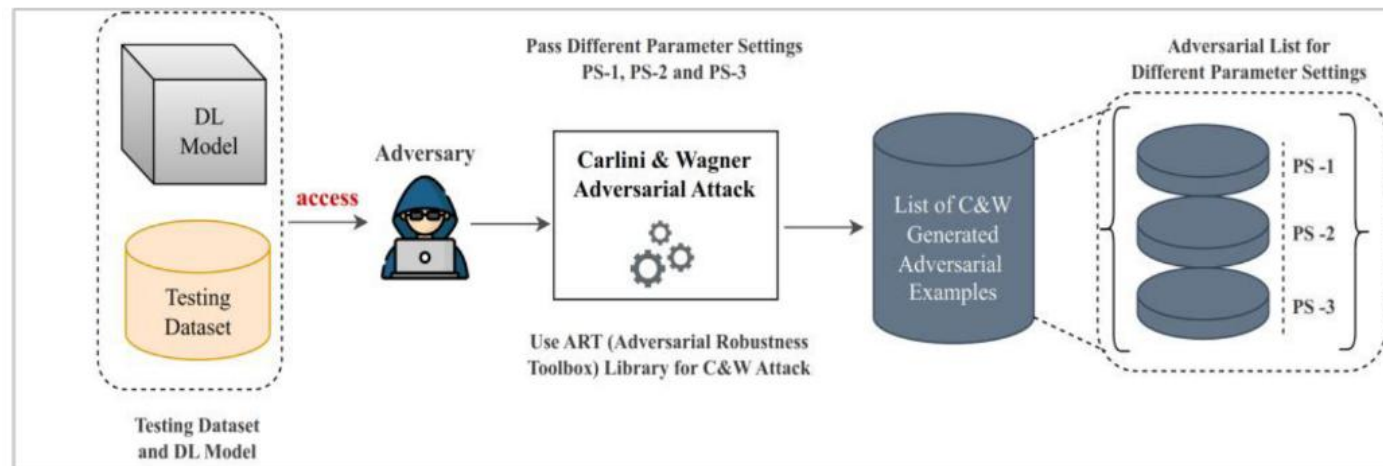
$$\text{ObjectiveFunction}f(x') = \max(\max \{H(x')i : i \neq t\} - H(x')t, -c)$$

- 参数配置

- PS-1 (学习率0.0002)

- PS-2 (学习率0.0003)

- PS-3 (学习率0.0004)



## 训练阶段防御GDA

- Gaussian data augmentation(GDA)

- 将**高斯噪声**显式纳入**损失函数**，约束模型在输入局部邻域内的预测稳定性

- 目标：**最小化**模型在输入**高斯邻域内的期望损失**

$$\text{Minimum } \theta E_{(x, y) \sim D} [E_{\Delta x \sim N(0, \sigma^2)} [J(\theta, x + \Delta x, y)]]$$

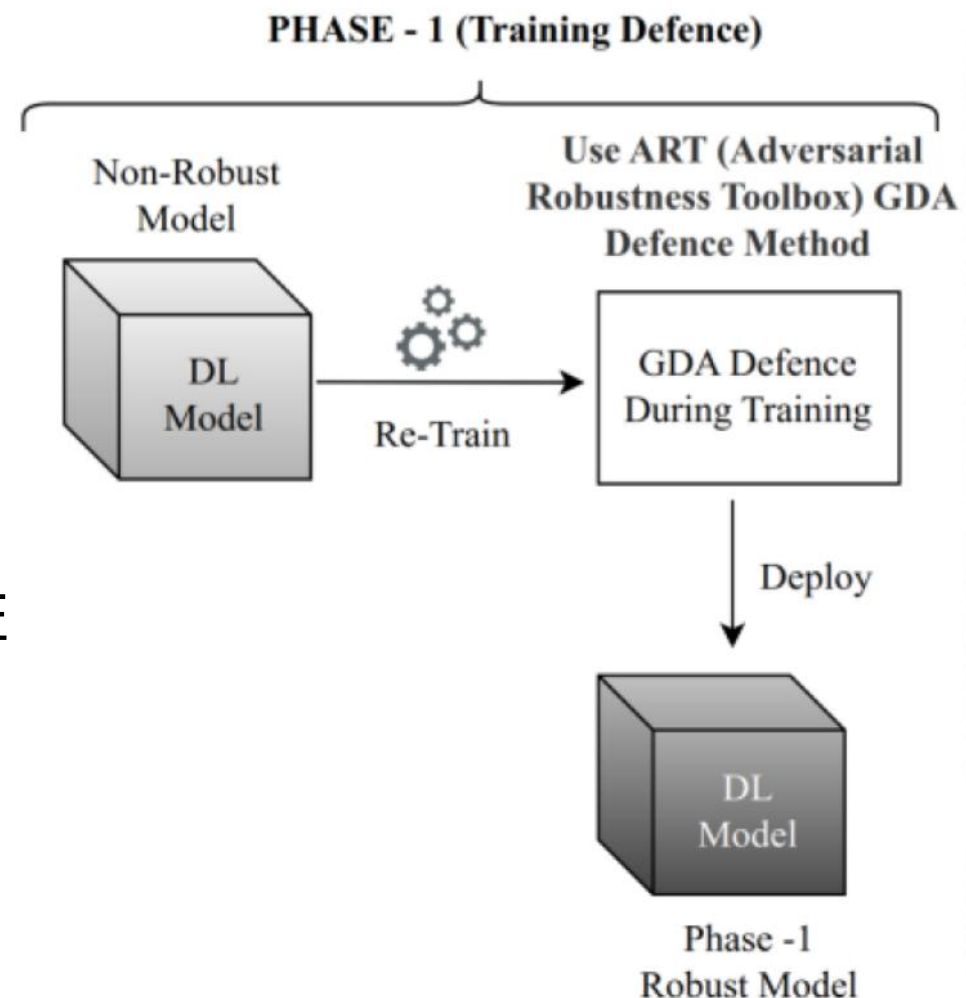
- 对原始数据 $x$ 添加一个微小的随机扰动 $\Delta x$ ，扰动服从**正态（高斯）分布**，得到 $x + \Delta x$

- 训练**模型参数** $\theta$ ，使模型不仅对原始数据 $x$ 分类正确，还要对带噪声数据 $x + \Delta x$ 分类正确

- GDA和传统高斯数据增强的区别

- 前者是**目标层面约束**

- 后者是**数据层面约束**



## 测试阶段防御FS

- Feature squeezing(FS)

- 原始特征向量  $\mathbf{x}$  映射为压缩向量  $\hat{\mathbf{x}}$  使得  $|\hat{\mathbf{x}} - \mathbf{x}| \leq \epsilon$

削弱对抗样本的影响

$$|\text{Squeeze}(\mathbf{x}') - \text{Squeeze}(\mathbf{x})| \approx 0$$

- 两种特征压缩技术

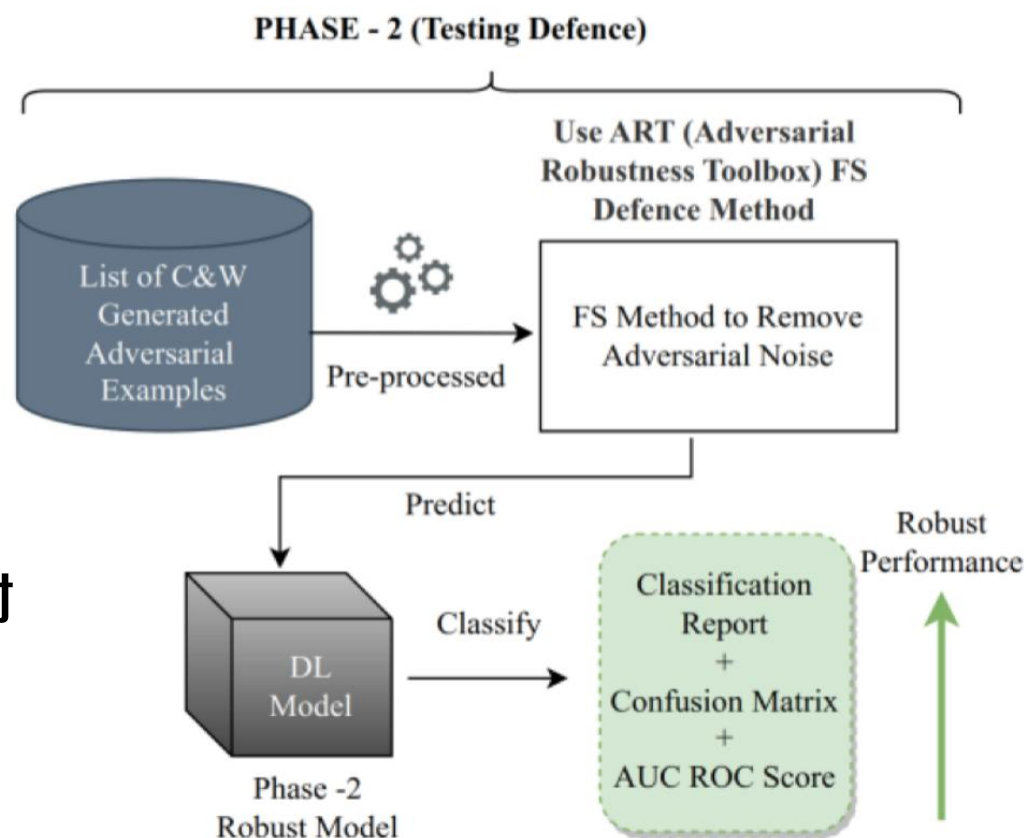
- 特征量化

- 降低数值特征的精度来实现压缩
    - 对于网络流量中的每一个数值特征，将其映射到一个预定义的、较低数量的离散值中

$$\hat{x}_i = \text{round} \left( \frac{x_i \cdot N}{R} \right) \cdot \frac{R}{N}$$

- 特征平滑/滤波

- 对相邻特征值进行局部平滑
    - 方法：滑动平均、一维高斯滤波器



- 数据资源—CIC-DDoS-2019数据集

良性样本	恶意样本	训练数据集	测试数据集
107,764	119,384	131,745 (良性 62,391, 恶意 69,354)	95,403 (良性 45,373, 恶意 50,030)

- 评价指标

- 准确率

$$Accuracy = \frac{TP + TN}{TP + TN + FP + FN}$$

- 召回率

$$Recall = \frac{TP}{TP + FN}$$

- 精确率

$$Precision = \frac{TP}{TP + FP}$$

- F1-Score

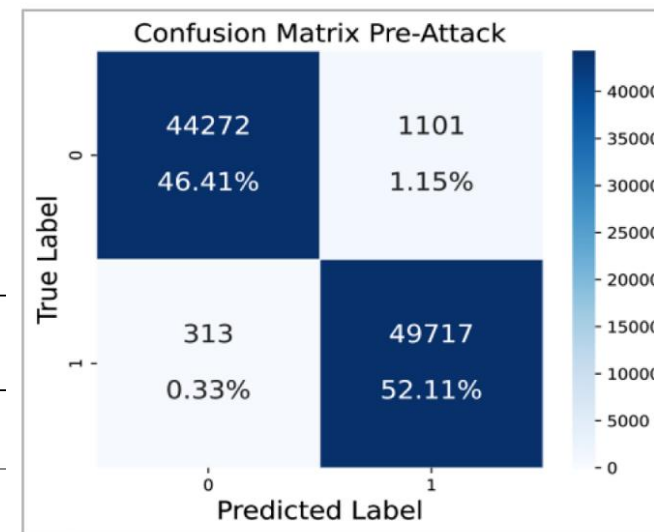
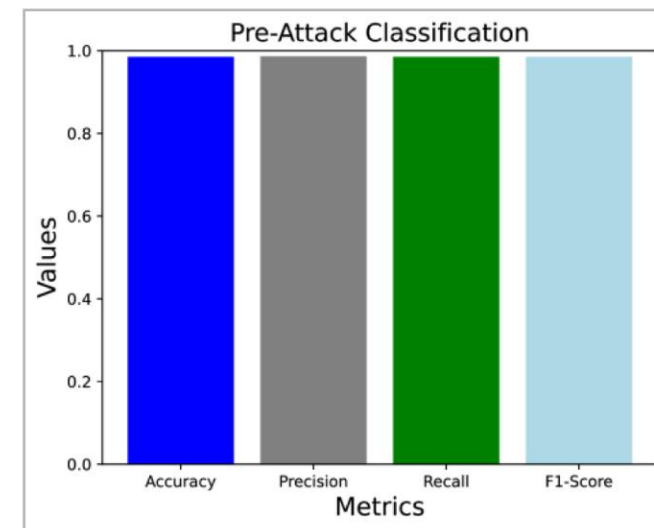
$$F1 - score = 2 \cdot \frac{Precision * Recall}{Precision + Recall}$$

- AUC-ROC

- 对抗攻击指标

- Evasion Rate ( 规避率 )

- NIDS未受对抗攻击时的性能
  - 对正常网络流量和攻击流量的基础分类能力优秀
    - 在干净数据集上的分类准确率达到 **98.5%**
    - 其他关键指标同样**表现优异**
  - 模型对正常和恶意活动的区分能力极强
    - AUC-ROC分数为 **0.9847**
  - 具有较高的检测可靠性
    - **误报率 (1.15%)** 和**漏报率 (0.33%)** 均比较低

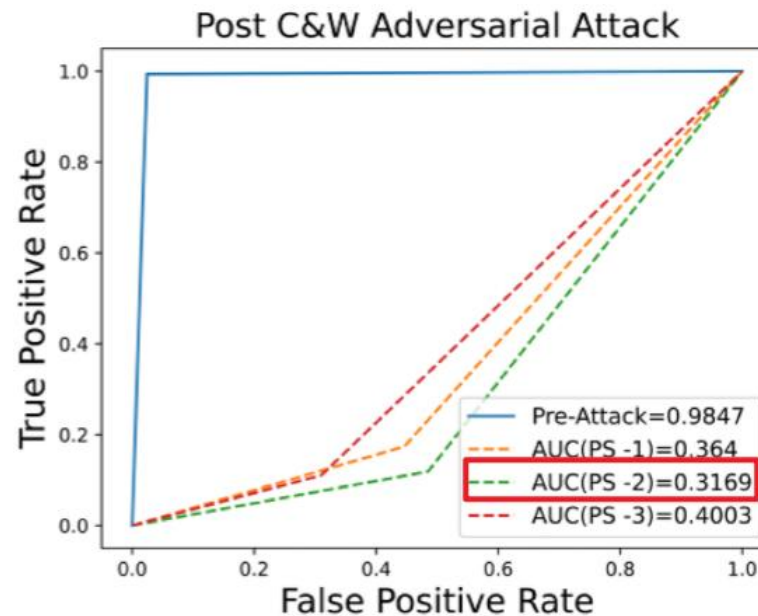
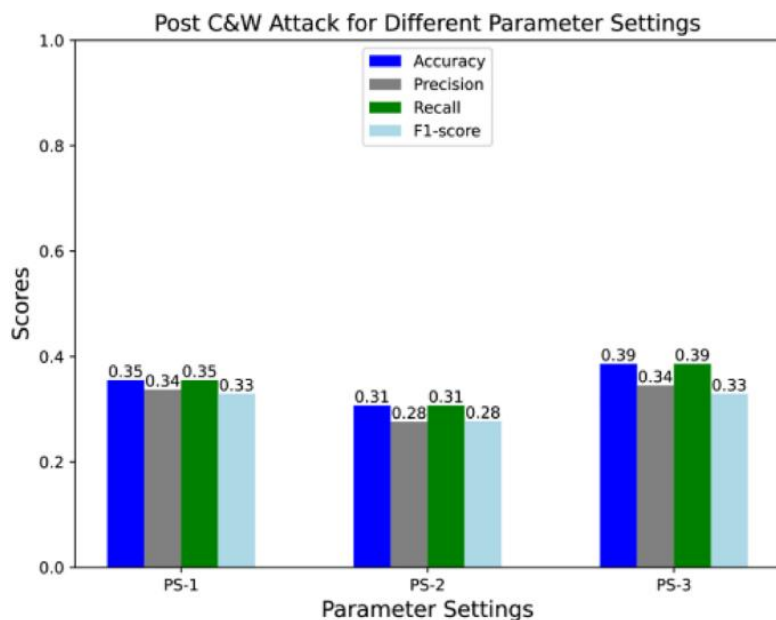


Name	Classification Report				Confusion Matrix				Area under the ROC
	A	P	R	F	TN	FP	FN	TP	AUC-ROC
Pre-Attack Evaluation	0.985	0.986	0.985	0.985	44,272	1101	313	49,717	0.9847

(Weighted Average)

A – Accuracy, P – Precision, R – Recall, F-F1Score, TN – True Negative, TP – True Positive, FP - False Positive, FN – False Negative.

- NIDS受到对抗攻击后的性能
  - 模型性能显著下降，对白盒攻击极度脆弱
    - 原始模型准确率显著下降98.5%→30.7%，C&W攻击能有效欺骗模型
    - 模型区分正常与恶意流量的能力几乎失效（AUC-ROC从0.9847→0.3169~0.4003）
  - 攻击强度与参数配置相关
    - PS-2攻击效果最强；PS-3攻击效果略弱，可能因过大的扰动被部分检测到



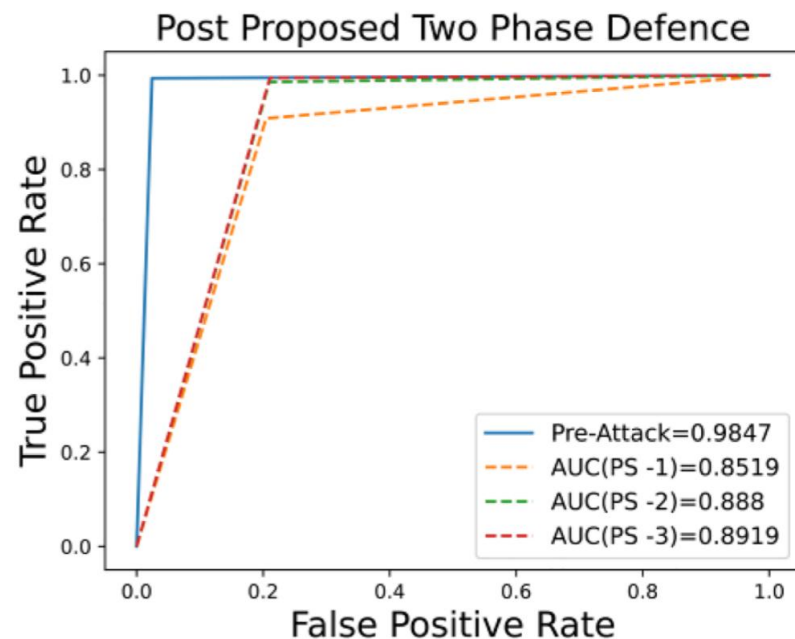
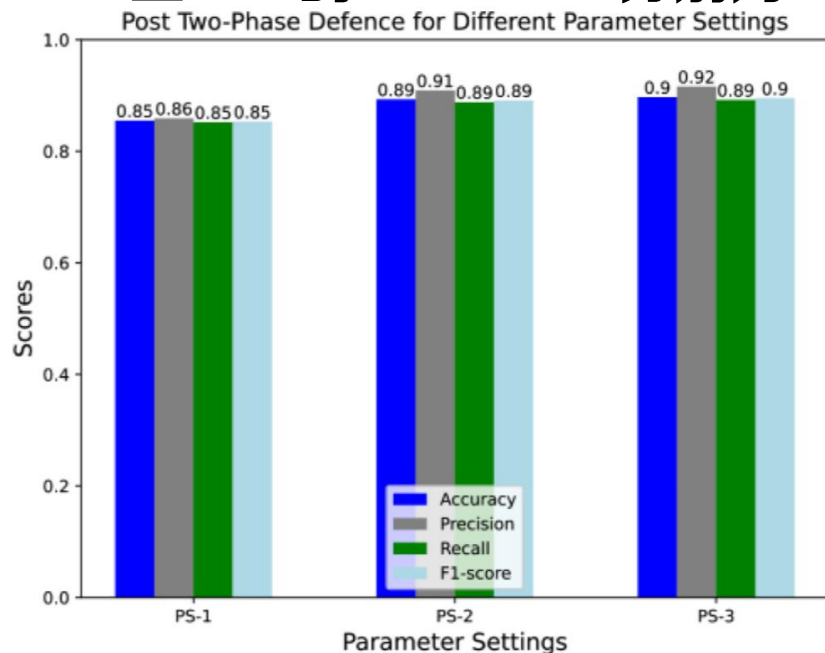
## 评估GDA-FS的鲁棒性

– 显著提升**模型**的鲁棒性能

• 模型**准确率**分别达到85.5%、89.3%和89.7%，较攻击后性能（PS-1仅35.5%）显著提升

– 对**不同攻击强度**的对抗样本均有较高鲁棒性

• PS-1至PS-3的AUC-ROC分别为0.8519、0.888和0.8919



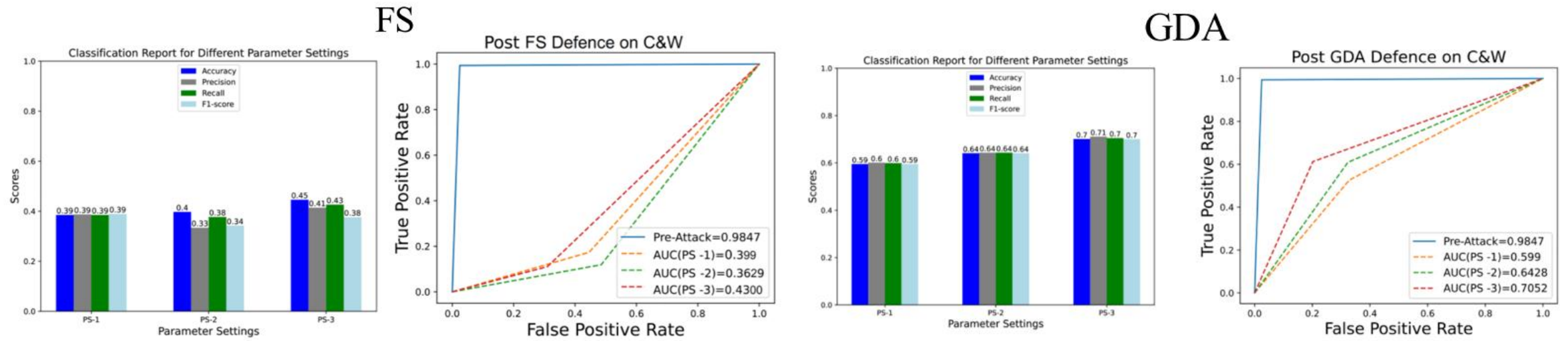
## • GDA/FS单阶段防御

– 单独使用任一种防御均无法达到**两阶段组合**的效果

– GDA优于FS

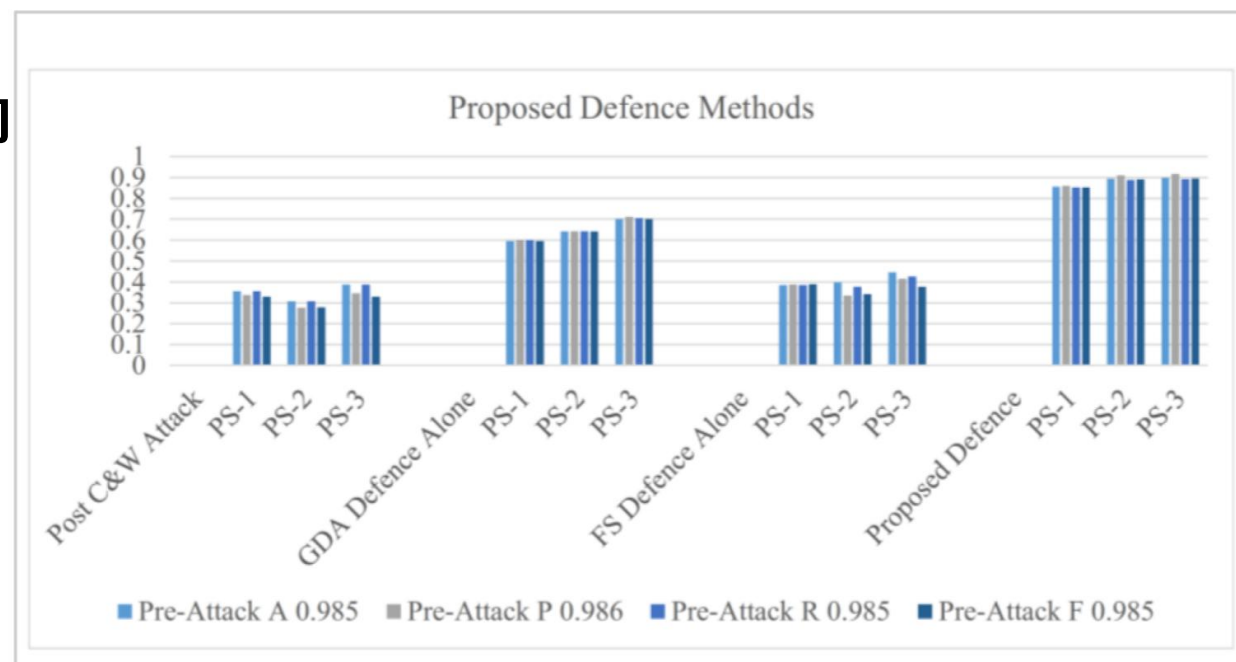
• GDA单阶段防御在训练阶段**增强模型鲁棒性**，效果明显优于仅用FS的测试阶段处理

• FS虽能压缩特征噪声，但无法有效纠正对抗扰动导致的误分类



## 实验总结

- GDA-FS两阶段防御策略的显著优势
  - GDA-FS策略使模型在C&W攻击下的性能，接近无攻击时的**基准水平**
- 单阶段防御的局限性
  - GDA: 虽能部分**提升鲁棒性**，但无法完全抵抗对抗攻击
  - FS: 效果较弱（PS-3准确率44.6%），单独依赖特征压缩不足以应对对抗扰动
- 对抗攻击的严重威胁
  - C&W攻击使模型性能**断崖式下降**
  - 深度学习模型在对抗样本下的**脆弱性**，凸显防御必要性





**NIDS-DA: Detecting functionally preserved adversarial examples for network intrusion detection system using deep autoencoders**

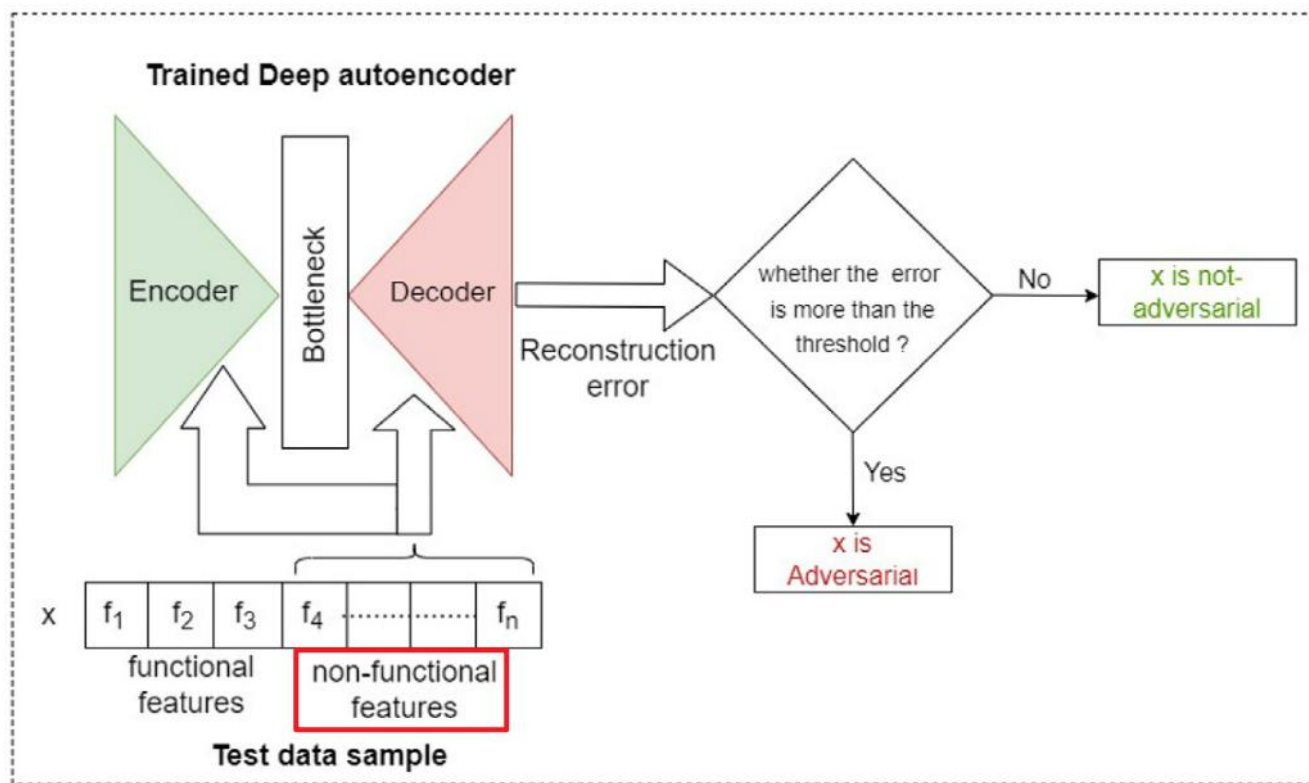
T	目标	检测 <b>功能保留型</b> 网络流量对抗样本
I	输入	1组网络流量样本（良性/恶意/对抗）
P	处理	1.输入样本进行归一化、特征选择（Chi-2检验） 2.替代分类器（模拟NIDS）区分良性/恶意样本 3.被分类为“良性”的样本送入 <b>DAE检测</b> 4.DAE <b>计算重构误差</b> 并与阈值比较，判定是否为对抗样本
O	输出	1组网络流量样本标签（是否为对抗样本）

P	问题	功能保留型对抗样本仅修改 <b>不影响恶意功能的特征</b> 来欺骗NIDS，传统基于全特征或监督学习的检测方法难以有效区分，且 <b>误报率高</b>
C	条件	1.对抗样本需保持 <b>功能性特征不变</b> ，仅对非功能性特征添加扰动 2.攻击者不知道模型的参数、配置和梯度信息，但可以访问用于训练目标模型的相同 <b>训练数据</b>
D	难点	如何区分网络流量的功能性特征与非功能性特征
L	水平	ESWA 2025（中科院一区）

## 生成模型

- NIDS-DA

- 攻击者通过保留功能性特征，仅对非功能性特征添加扰动来生成对抗样本
- 提出利用深度自编码器（DAE）学习非功能性特征的内在模式与分布，对功能保留型对抗样本进行检测



## • NIDS-DA

### – 数据预处理

- 最小-最大归一化
- Chi-2方法进行特征选择

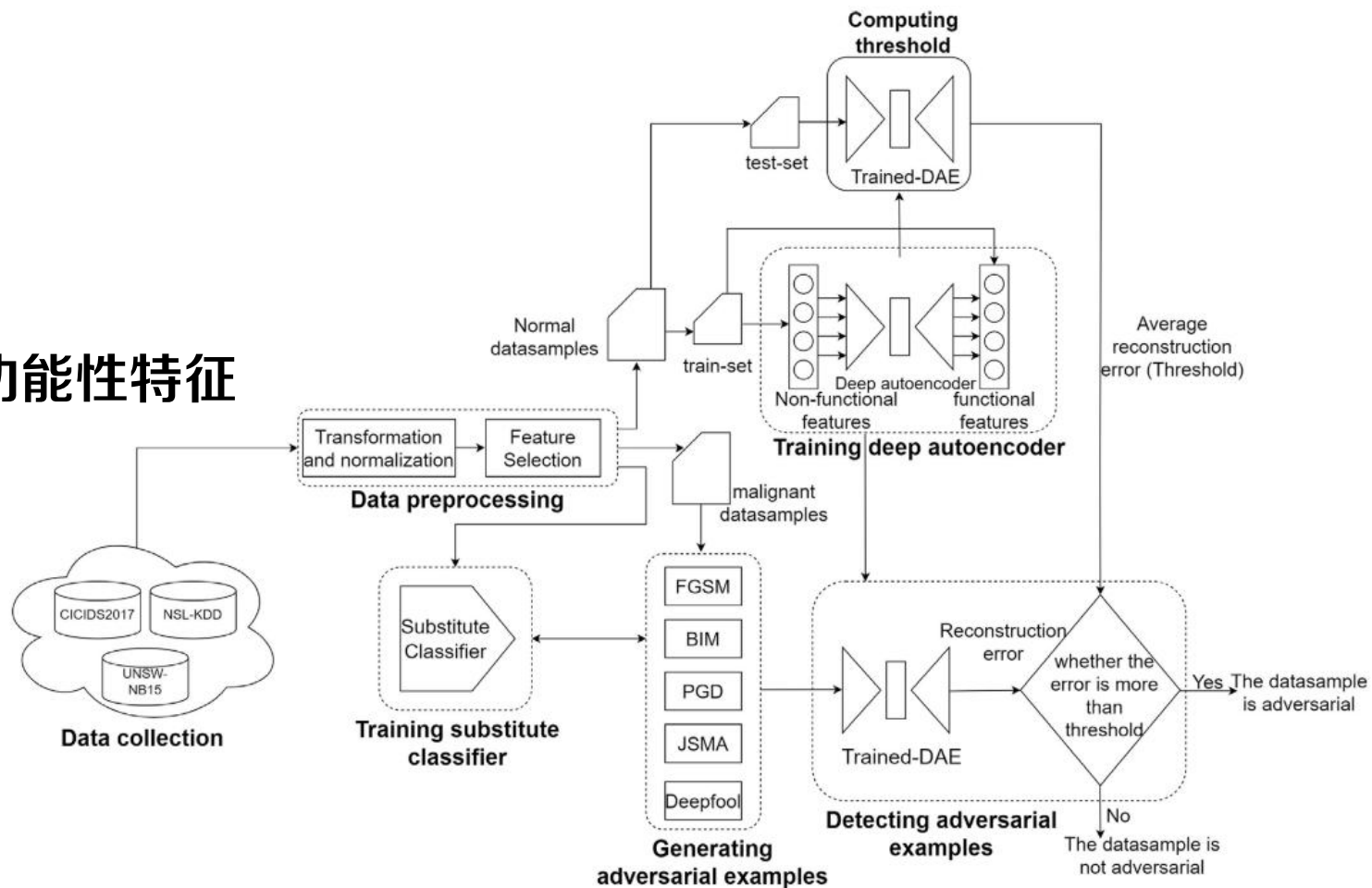
### – 区分样本功能性特征与非功能性特征

### – 替代分类器 (NIDS) 训练

### – 生成对抗样本

### – 训练深度自编码器

### – 对抗样本检测



## 功能性特征 vs 非功能性特征

- 功能性特征

- 对特定攻击类型实现其**恶意目标**必不可少的特征，修改这些特征会导致**攻击失效**

- DoS攻击：时间相关特征和协议类型
- R2L攻击：内容相关特征

Functional features of various attacks in NSL-KDD dataset.

Attack	Intrinsic	Content	Time-based features	Host-based features
Probe	✓		✓	✓
Dos	✓		✓	
U2R	✓	✓		
R2L	✓	✓		

- 非功能性特征

- 与**攻击目标无关**的特征，修改后**不影响攻击有效性**
- DoS攻击：登录失败次数或DNS查询长度

- 区分方法

- 基于统计技术的方法      **特征与标签之间的相关性**
- 基于行为和分布模式的方法
- 基于降维技术的方法
- PCA降维对**特征分组**，功能特征出现在方差大的组中

- 训练替代分类器
  - 基于**深度神经网络** (DNN)
  - 输入: **良性/恶意流量**
  - 目标: **区分良性/恶意流量**
- 生成对抗样本—以DoS为例
  - 输入: **恶意流量数据样本**
  - 攻击算法: **FGSM/BIM/PGD/JSMA/Deepfool**
  - 生成过程
    - **固定功能性特征**
    - 使用攻击算法计算**非功能性特征**的扰动方向
    - 替代分类器将其分为“**良性**”, 迭代完成
    - 将样本加入对抗样本集合

---

**Algorithm 1:** Generating adversarial examples with constrained perturbation

---

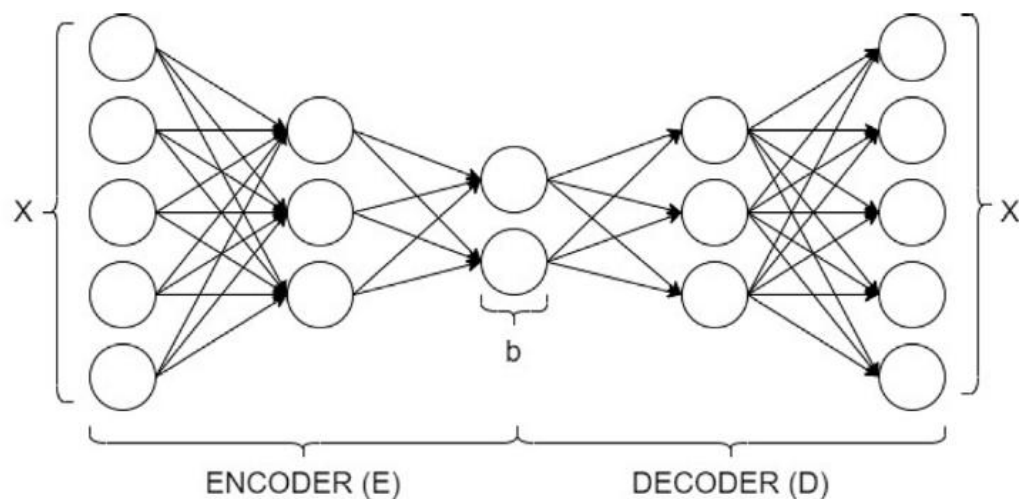
**Input** : Dataset  $D$  of Dos datasamples and trained substitute classifier  $f$   
**Output:** Adversarial examples

```
1  $NF \leftarrow \{f_1, f_2, \dots, f_k\}$ ; /* Non functional features in  $D$  */
2  $Adv \leftarrow \{\}$ 
3 Initialize perturbation parameter  $\delta$ 
4  $Adv - Gen - Algo \leftarrow \{FGSM, BIM, PGD, JSMA, Deepfool\}$ 
5 for  $\forall x$  in  $D$  do
6    $x^* \leftarrow Adv - Gen - Algo(x, f, NF, \delta)$ ; /* function call returns adversarial example  $x^*$  by perturbing only non-functional features  $NF$  */
7    $Adv \leftarrow Adv \cup x^*$ 
8 end
9 return  $Adv$ 
```

---

## • DAE结构

- 输入：正常样本（良性）的非功能性特征
- 编码器-解码器**对称架构**
  - 编码器E：输入数据 $x$ **映射**为低维、稠密的潜在表示 $b$
  - 瓶颈层：编码过程的输出，解码过程的输入（ $b$ ）
  - 解码器D：从潜在表示 $b$ 中**重构**出原始数据 $x$
- 输出：即解码器的输出，模型对原始输入的**重构数据**，目标是尽可能使重构数据接近原始的数据  $x$



## 深度自编码器

### • DAE训练

- 训练目标：最小化输入数据 $x$ 与重构数据 $x'$ 之间的差异

$$\text{Reconstruction error} = \underset{E, D}{\operatorname{argmin}} \|x - x'\|^2$$

### – 训练过程

- 初始化：随机初始化编码器和解码器的权重与偏置，设定训练参数
- 利用DAE重构数据，计算损失
- 反向传播更新模型参数

### – 阈值计算

- 将测试集正常样本输入训练好的DAE
- 计算每个样本的重构误差（RMSE）
- 计算所有测试样本的平均误差，作为检测阈值

---

#### Algorithm 2: Training Deep autoencoder

---

```
Input : Dataset  $D$  of normal datasamples
Output: Trained DAE and threshold value
1  $D_{train}, D_{test} \leftarrow \text{train\_test\_split}(D)$ 
2  $D_{train\_non\_func} \leftarrow D_{train}\{\text{non functional features}\}$ 
3  $D_{test\_non\_func} \leftarrow D_{test}\{\text{non functional features}\}$ 
4 Initialize learning_rate, epochs, batch_size and nos. of layers
5 Initialize weights and biases of Encoder  $E$  and Decoder  $D$ 
6 while epochs  $\geq 0$  do
7   |  $\text{encoded\_output} \leftarrow E(\text{batch}, D_{train\_non\_func})$ 
8   |  $\text{decoded\_output} \leftarrow D(\text{batch}, \text{encoded\_output})$ 
9   |  $\text{loss} \leftarrow \text{compute\_loss}(\text{batch}, \text{decoded\_output})$ 
10  |  $\text{compute\_gradient}(\text{loss})$ 
11  |  $\text{update\_weight\_and\_biases}(\text{learning\_rate})$ 
12  |  $\text{epochs} \leftarrow \text{epochs} - 1$ 
13 end
   ; /* Using trained DAE for computing threshold */
14  $\text{aggregate\_error} \leftarrow 0$ 
15 for  $\forall x$  in  $D_{test\_non\_func}$  do
16  |  $R.E \leftarrow \text{RMSE}(x, D(E(x)))$ 
17  |  $\text{aggregate\_error} \leftarrow R.E + \text{aggregate\_error}$ 
18 end
19  $\text{threshold} \leftarrow \frac{\text{aggregate\_error}}{\text{size}(D_{test\_non\_func})}$ 
20 return  $E, D, \text{threshold}$ 
```

---

- DAE检测对抗样本

- 输入：待检测样本（分类器判别为“正常的”）

- 检测过程

- 提取**样本非功能性特征**输入DAE
- 计算**重构误差** $RE$
- $RE$  **大于阈值** $threshold$  判定为对抗样本；否则为正常样本

---

**Algorithm 3:** Detecting adversarial examples

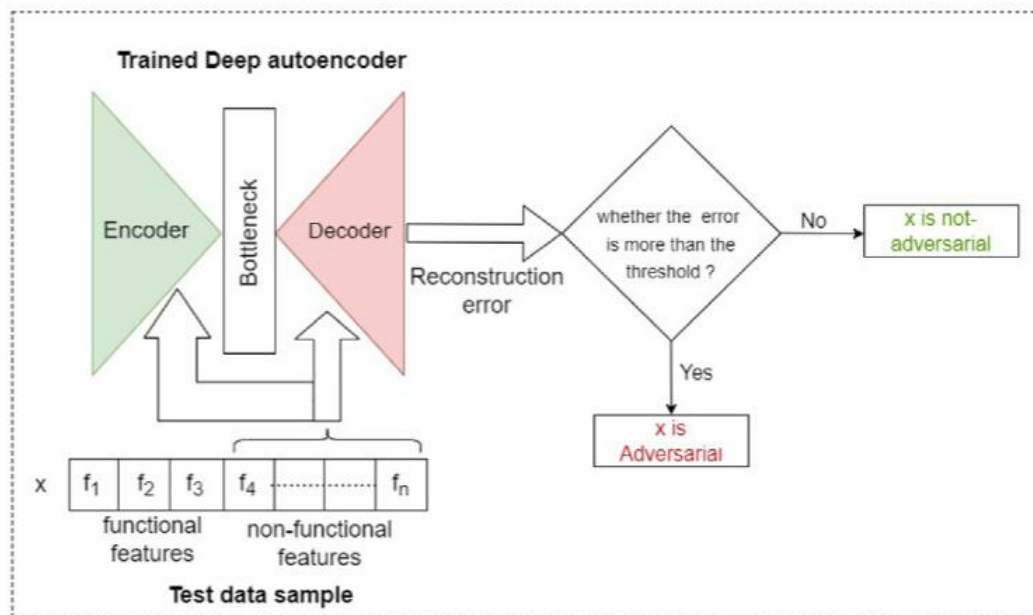
---

**Input** : Test sample  $x$ , trained DAE and threshold

**Output:** Whether  $x$  is adversarial or not

```
1  $RE \leftarrow RMSE(x, D(E(x)))$ 
2 if  $RE > threshold$  then
3   | return True
4 else
5   | return False
6 end
```

---



## • 数据资源

数据集	特征数	正样本数	负样本数	样本总数
UNSW-NB15	43	37,000	4,089	41,089
CICIDS2017	78	97,686	128,025	225,711
NSL-KDD	42	67,342	45,927	113,269

## • 评价指标

– 准确率

$$Accuracy = \frac{TP + TN}{TP + TN + FP + FN}$$

$$Recall = \frac{TP}{TP + FN}$$

– 召回率

– 精确率

$$Precision = \frac{TP}{TP + FP}$$

$$F1 - score = 2 \cdot \frac{Precision * Recall}{Precision + Recall}$$

– F1-Score

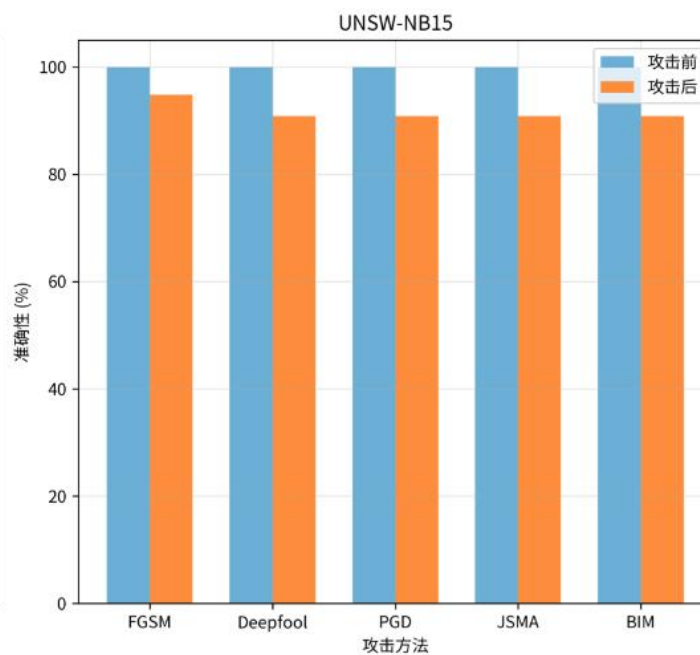
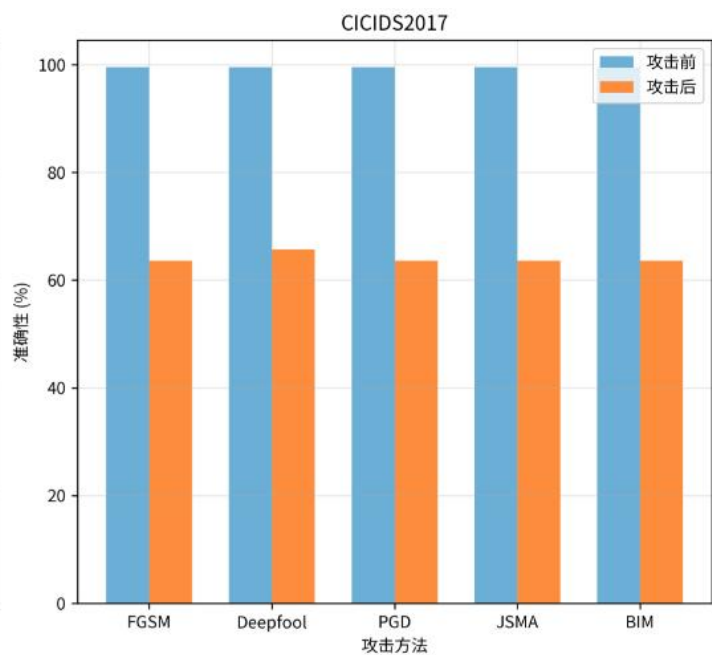
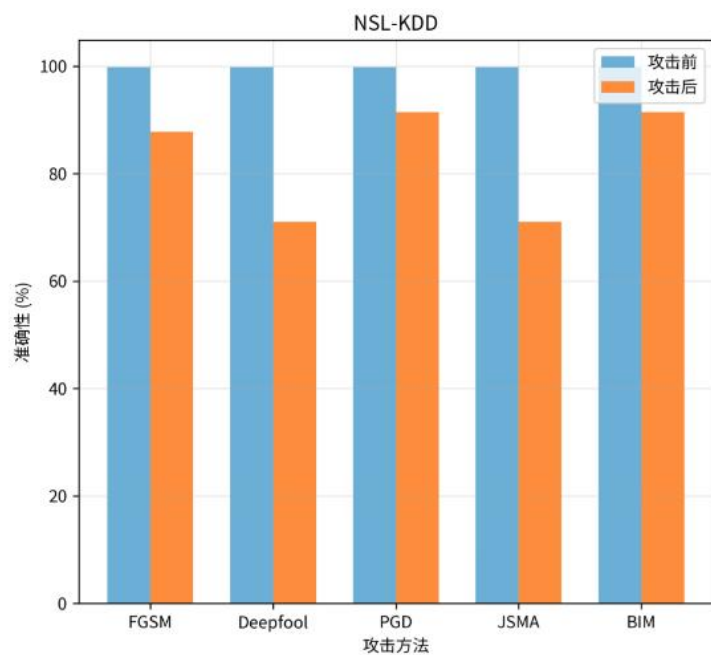
## • 对抗攻击方法

– FGSM、BIM、PGD、JSMA、DeepFool

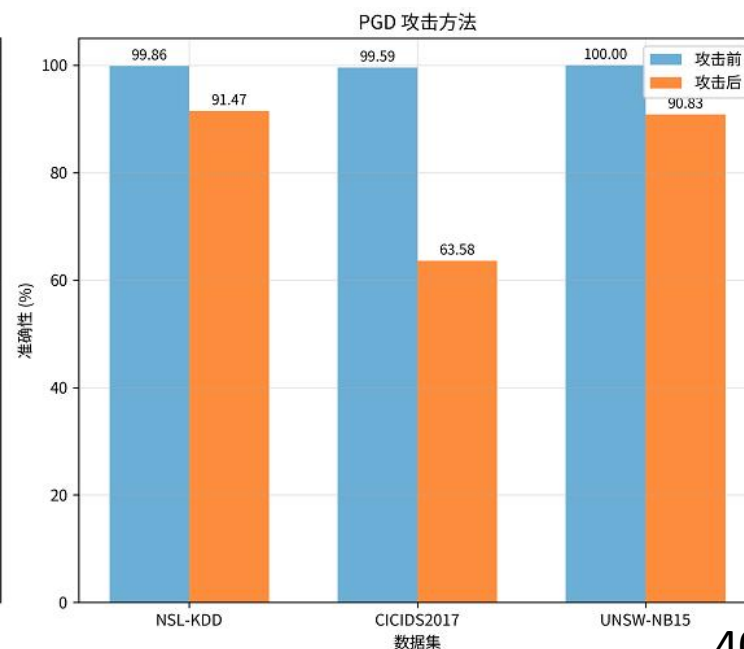
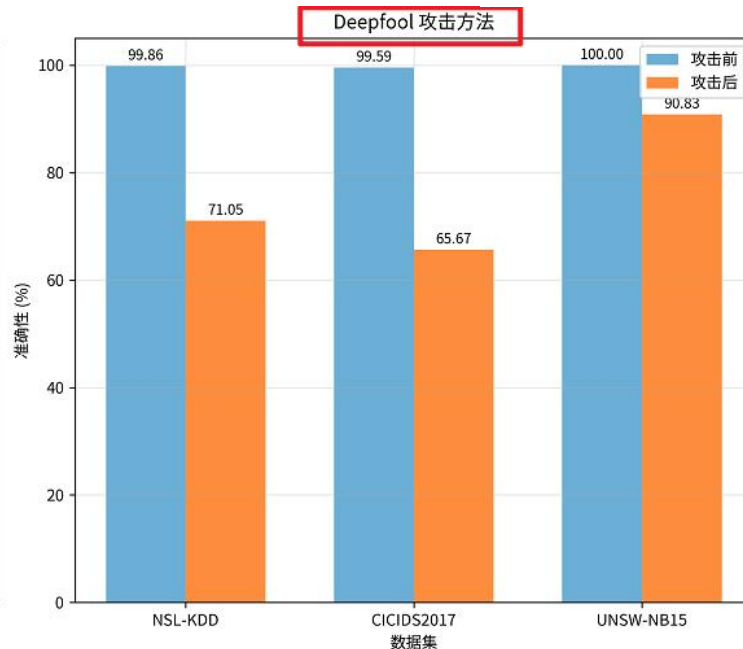
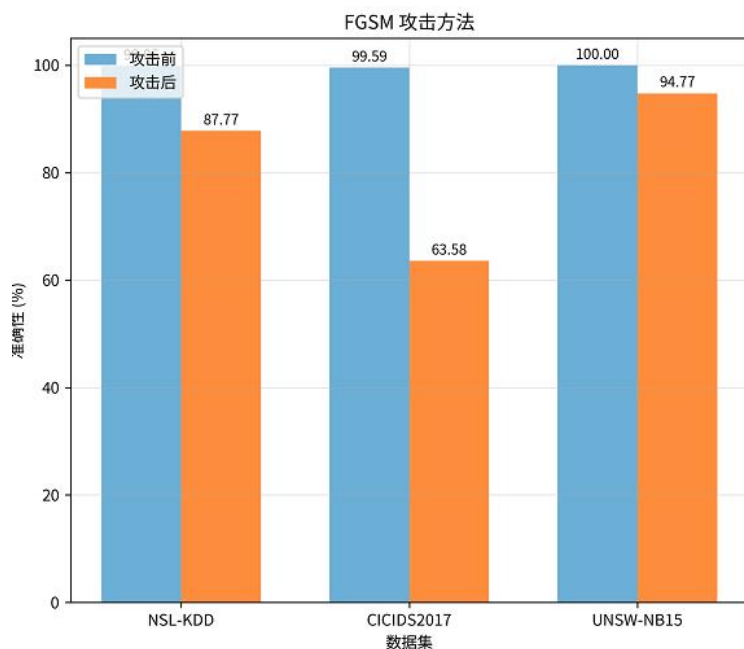
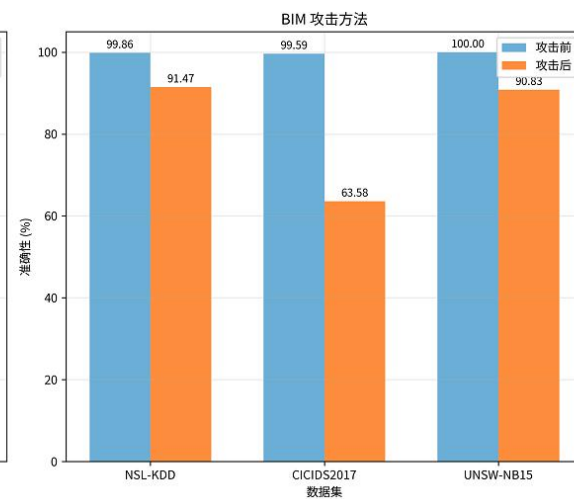
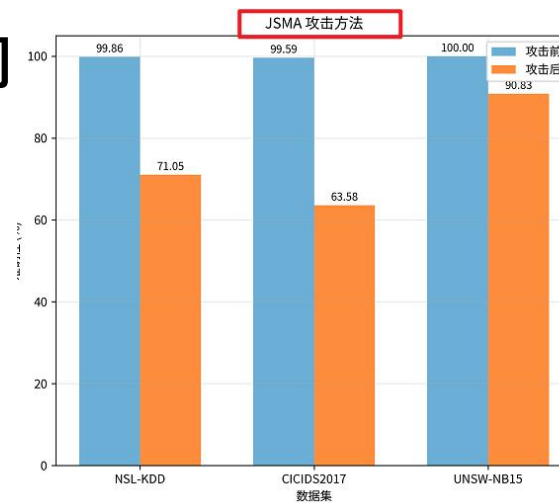
## • 评估替代分类器在对抗攻击下的性能

- 数据集: **混合数据集** (正常/恶意/对抗)
- 所有数据集在**攻击前**都具有很高的准确性
- 攻击后的**准确率显著降低**, CICIDS2017数据集受影响最大
- 替代分类器将相当大比例的对抗样本错误地分类为正常, **假阳率激增**

Dataset	Normal data samples	Dos samples	Adversarial examples
UNSW-NB15	11 083	1244	1244
CICIDS2017	9773	12 799	12 708
NSL-KDD	13 465	9189	3121



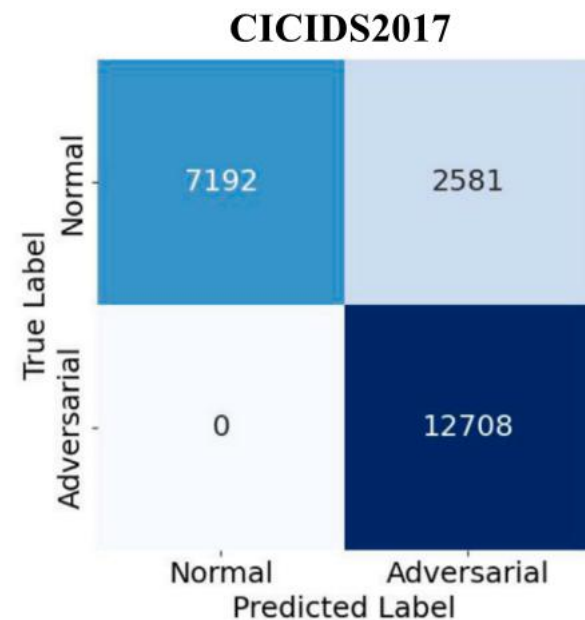
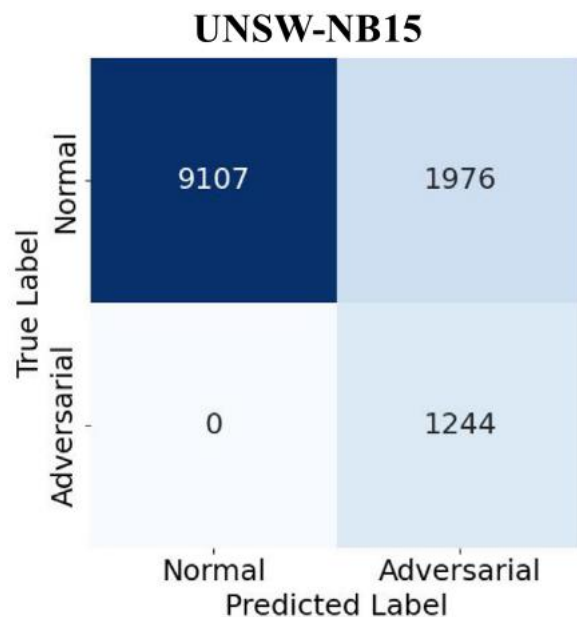
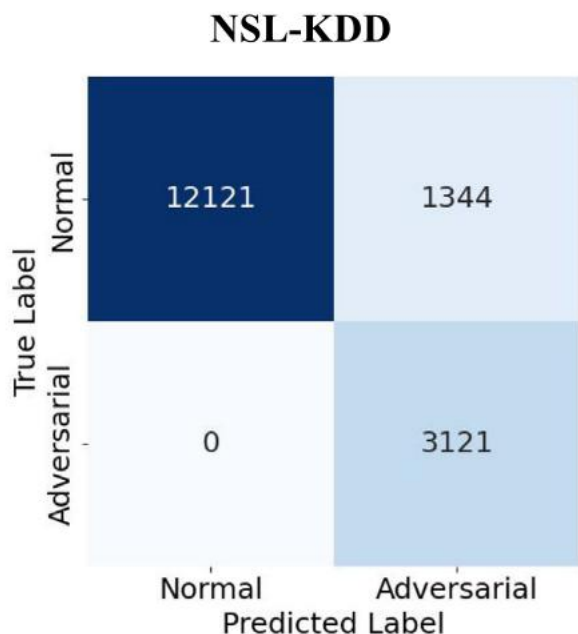
- 不同对抗攻击对替代分类器准确性的影响
  - Deepfool和JSMA攻击方法使分类器准确性下降的最多
  - UNSW-NB15数据集训练出的分类器相对于其他两个数据集表现出更强的鲁棒性



- 针对混合数据集评估DAE的对抗性检测能力

- 在三个数据集上分别训练DAE，**得到阈值**
- DAE成功地检测到所有对抗样本
- 在识别攻击方面具有较高的可靠性，**跨数据集表现稳定**

Dataset	Threshold value
UNSW-NB15	0.0025
CICIDS2017	0.0000413
NSL-KDD	0.00109



- NIDS-DA方法在所有数据集上均具有较高的检测精度
  - 具有较强的鲁棒性和泛化能力
- 所提方法的性能显著优于近年来的先进方法
  - 与Alslman等人（2024）使用去噪自编码器检测相比，提升约15%
  - 与Roshan等人的对抗训练、高置信度等复杂防御策略相比，提升约11%
  - 与Debicha等人使用基于迁移学习的多个对抗样本检测器检测相比，提升18%

Detection method	Datasets		
	CICIDS2017	UNSW-NB15	NSL-KDD
Our Work	99.92	99.92	99.97
Alslman et al. (2024)	-	85.00	-
Roshan et al. (2024)	98.72	-	-
Debicha, Bauwens, et al. (2023)	88.67	-	81.85

- NF-DAE方法与FF-DAE方法相比
  - NF-DAE: 即本文方法, 只在**非功能特征**上训练的DAE
  - FF-DAE: 在**完整特征集**上训练的DAE
  - 阈值分析
    - FF-DAE需拟合更多特征, 重构误差分布更分散, **阈值更高**
  - 实验结果分析
    - NF-DAE方法在所有数据集上, 均显著**降低了假阳性数量**
    - 误报率更低

数据集	FF-DAE 阈值	NF-DAE 阈值
UNSW-NB15	0.01568636	0.0025
CICIDS2017	0.000565036	0.0000413
NSL-KDD	0.00253260	0.00109

	NSL-KDD	UNSW-NB15	CICIDS2017
Nos. of normal data samples	13 465	11 083	9773
Nos. of false positives reported by FF-DAE	1709	5137	2581
Nos. of false positives reported by NF-DAE	1344	1976	1268

北京林业大学  
景观规划设计学院



## 特点总结与未来展望

- 算法创新
  - NIDS-DA: 首次通过深度自编码器 ( DAE ) 检测仅修改非功能特征的功能保留型对抗样本
  - GDA-FS: 将GDA与FS结合, 在训练与测试两阶段协同防御, 突破单阶段防御的局限性
- 算法优势
  - NIDS-DA: 与FF-DAE相比显著降低误报率, 提高了NIDS的检测准确性
  - GDA-FS: GDA增强了模型的鲁棒性, FS的引入有效减少了对抗噪声的影响
- 未来展望
  - 模型轻量化: 使用预训练模型或设计更轻量级的特征提取器提高检测实时性
  - 智能特征工程: 自动化识别出最关键的特征子集, 而不是依赖手动划分
  - 结合可解释AI ( XAI ) 技术, 分析对抗样本的生成机制, 优化防御策略

**[1] Roshan M K, Zafar A. Boosting robustness of network intrusion detection systems: A novel two phase defense strategy against untargeted white-box optimization adversarial attack[J]. Expert Systems with Applications, 2024, 249: 123567.**

**[2] Kumar V, Kumar K, Singh M, et al. NIDS-DA: Detecting functionally preserved adversarial examples for network intrusion detection system using deep autoencoders[J]. Expert Systems with Applications, 2025, 270: 126513.**

道可道，非常道。名可名，非常名。无名天地之始。有名万物之母。故常无欲以观其妙。常有欲以观其徼。此两者同出而异名，同谓之玄。玄之又玄，众妙之门。

## 谢谢！

